

# 1 Valutare la probabilità di tunneling

L'Hamiltoniana sarà:

$$H(\hat{p}, \hat{x}) = K(\hat{p}) + V(\hat{x}) = \frac{\hat{p}^2}{2m} + V_0 \left( \left( \frac{\hat{x}}{d} \right)^2 - 1 \right)^2 \quad (1)$$

Parametri importanti della simulazione sono:

$$\omega_0 = \frac{V_0}{\hbar} \quad \omega_d = \sqrt{\frac{8V_0}{md^2}} \quad (2)$$

$$\lambda = \frac{\omega_0}{\omega_d} \quad \bar{\beta} = \frac{V_0}{k_B T} = \beta \hbar \omega_0 \quad \bar{t} = \omega_0 t \quad (3)$$

Si è usato  $\omega_0$  come unità di misura temporale perchè siamo interessati a studiare i fenomeni di tunnelling, che interessano il livello energetico della barriera  $V_0$ . Si può notare che  $\lambda$  è una misura di quanto sono "separate" le buche: esso può essere riscritto come  $\frac{V_0}{\hbar \omega_d}$ , ovvero approssimativamente quanti livelli di buca singola vi sono. I fenomeni a cui siamo interessati saranno dunque nella zona  $\bar{\beta} > 1$  (affinchè le particelle siano intrappolate nelle buche),  $\lambda > 1$  (perchè le buche abbiano stati approssimati di buca singola).

## 1.1 Half thermodynamics

Definendo il proiettore rigth:

$$\Theta(\hat{x}) \quad \text{t.c.} \quad \Theta(\hat{x}) |x\rangle = |x\rangle \quad x \geq 0 \quad (4)$$

$$\Theta(\hat{x}) |x\rangle = 0 \quad x < 0 \quad (5)$$

E l'Hamiltoniana di buca singola:

$$\tilde{H}(\hat{p}, \hat{x}) = \Theta(\hat{x}) H(\hat{p}, \hat{x}) \Theta(\hat{x}) \quad (6)$$

La matrice densità di un sistema termalizzato ma isolato in una buca sarà  $\frac{1}{\tilde{Z}} e^{-\beta \tilde{H}}$ . La probabilità di trovare il sistema nella buca left è  $\text{Tr} [\Theta(-\hat{x}) \hat{\rho}]$ . Possiamo quindi scrivere la probabilità di trovare la particella nella buca sinistra dopo un tempo  $t$ :

$$P(t, \beta, \lambda) = \frac{1}{\tilde{Z}} \text{Tr} \left[ \Theta(-\hat{x}) e^{-i \frac{\tilde{H}}{\hbar} t} e^{-\beta \tilde{H}} e^{i \frac{\tilde{H}}{\hbar} t} \right] \quad (7)$$

Espandendo anche  $\tilde{Z} = \text{Tr} [e^{-\beta \tilde{H}}]$ :

$$P(t, \beta, \lambda) = \frac{\text{Tr} \left[ \Theta(-\hat{x}) e^{-i \frac{\tilde{H}}{\hbar} t} e^{-\beta \tilde{H}} e^{i \frac{\tilde{H}}{\hbar} t} \right]}{\text{Tr} \left[ e^{-i \frac{\tilde{H}}{\hbar} t} e^{-\beta \tilde{H}} e^{i \frac{\tilde{H}}{\hbar} t} \right]} = \frac{\int_{x=0}^{+\infty} dx f(x)}{\int_{x=-\infty}^{+\infty} dx f(x)} \quad (8)$$

## 1.2 Path integrals

Possiamo riscrivere la  $f$  in termini di integrali su cammini chiusi:

$$f(x) = \langle x | e^{-i \frac{\tilde{H}}{\hbar} t} e^{-\beta \tilde{H}} e^{i \frac{\tilde{H}}{\hbar} t} | x \rangle = \|N_t\|^2 N_E \oint dx_i dx'_i dy_i e^{i \frac{S[x_i] - S[x'_i]}{\hbar} - \frac{1}{\hbar} S_E[y_i]} \quad (9)$$

Dove le condizioni sui cammini sono:

$$x_{N_t} = x'_{N_t} = x \quad (10)$$

$$x_0 = y_0 \quad x'_0 = y_{N_E} \quad (11)$$

$$y_i \geq 0 \quad (12)$$

e le lunghezze di  $x, x', y$  sono rispettivamente  $t, t, \beta\hbar$ . Per ottenere una misura reale notiamo che per ogni cammino vi è quello percorso in senso opposto, il cui peso è il complesso coniugato. Quindi:

$$f(x) = \|N_t\|^2 N_E \oint dx_i dx'_i dy_i \cos\left(\frac{S[x_i] - S[x'_i]}{\hbar}\right) e^{-\frac{1}{\hbar} S_E[y_i]} \quad (13)$$

$$\equiv \|N_t\|^2 N_E \oint dx_i dx'_i dy_i \text{sign} \cos\left(\frac{S[x_i] - S[x'_i]}{\hbar}\right) D(x_i, x'_i, y_i) \quad (14)$$

Dove  $D$  è definito positivo, può quindi essere usata come peso per estrarre i cammini.

### 1.3 Regularizzare la misura

Tuttavia è ancora oscillante, ciò rende la convergenza di metropolis problematica. Possiamo trovare una misura approssimata:

$$\int dx \cos(f(x)) g(x) \approx \iint dx dy \cos(f(x)) e^{-\frac{1}{2}\alpha(x-y)^2} g(y)$$

dove l'approssimazione è valida se  $\alpha \gg \omega_M^2$ , essendo  $\omega_M$  la massima frequenza ad apparire nella sequenza di fourier di  $g$ .

$$\int dx \cos(f(x)) e^{-\frac{1}{2}\alpha(x-y)^2} \approx \int dx \cos\left(f(y) + \frac{\partial f}{\partial x} x\right) e^{-\frac{1}{2}\alpha(x-y)^2} = \cos(f(y)) e^{-\frac{1}{2\alpha}\left(\frac{\partial f}{\partial x}\right)^2}$$

la condizione per l'applicabilità è ora che la serie di fourier si possa tagliare al primo termine, ovvero  $\alpha \gg \left(\frac{\partial^2 f}{2\partial x^2}\right)^2$ . Il calcolo si può estendere a  $N$  dimensioni sostituendo  $\frac{\partial^2 f}{\partial x^2} \rightarrow \sum_i \frac{\partial^2 f}{\partial x_i^2}$  e  $\left(\frac{\partial f}{\partial x}\right)^2 \rightarrow \sum_i \left(\frac{\partial f}{\partial x_i}\right)^2$ . La seconda condizione, sostituendo le espressioni per  $S$  e approssimando  $x_i \approx d$  e  $N \gg 1$ , si mostra essere equivalente a  $\alpha \gg \frac{1}{4d^2}$ , come ci si poteva aspettare da considerazioni dimensionali. Per la prima invece si può procedere così:  $g = e^{-S_E}$ ,  $S_E$  è sostanzialmente maggiore di 1 se  $x$  è maggiore di  $d$ , quindi la distribuzione  $g$  è limitata in uno spazio  $2d$ . La sua trasformata avrà quindi dimensioni caratteristiche  $\frac{1}{2d}$ , ridandoci lo stesso limite precedente, ovvero che i cammini siano limitati alla zona quanto-meccanica.

Definiamo quindi  $\tilde{\alpha} \equiv 4\alpha d^2$ , e riprendendo  $f$ :

$$f(x) = \|N_t\|^2 N_E \oint dx dx' dy \left( \cos\left(\frac{S[x] - S[x']}{\hbar}\right) e^{\frac{2d^2}{\hbar^2 \tilde{\alpha}} \left[ \left(\frac{\partial S[x]}{\partial x}\right)^2 + \left(\frac{\partial S[x']}{\partial x'}\right)^2 \right]} \right) e^{-\frac{1}{\hbar} S_E[y] - \frac{2d^2}{\hbar^2 \tilde{\alpha}} \left[ \left(\frac{\partial S[x]}{\partial x}\right)^2 + \left(\frac{\partial S[x']}{\partial x'}\right)^2 \right]} \quad (15)$$

Abbiamo quindi una misura sui cammini positiva e non oscillante, che dovrebbe limitare il metropolis ai cammini importanti. Inoltre essa è esponenziale, permettendo di valutare i rapporti tra probabilità tramite semplici differenze, ed esse grazie alla differenziazione sono locali (appare

solo il termine  $x_{i-1}x_{i+1}$ , che connette i secondi vicini). Ritornando al rapporto precedente:

$$P(t, \beta, \lambda) = \frac{\oint dx dx' dy \left( \Theta(-x_{N_T}) \cos\left(\frac{S[x]-S[x']}{\hbar}\right) e^{\frac{2d^2}{\hbar^2 \tilde{\alpha}} \left[ \left(\frac{\partial S[x]}{\partial x}\right)^2 + \left(\frac{\partial S[x']}{\partial x'}\right)^2 \right]} \right) e^{-\frac{1}{\hbar} S_E[y] - \frac{2d^2}{\hbar^2 \tilde{\alpha}} \left[ \left(\frac{\partial S[x]}{\partial x}\right)^2 + \left(\frac{\partial S[x']}{\partial x'}\right)^2 \right]}}{\oint dx dx' dy \left( \cos\left(\frac{S[x]-S[x']}{\hbar}\right) e^{\frac{2d^2}{\hbar^2 \tilde{\alpha}} \left[ \left(\frac{\partial S[x]}{\partial x}\right)^2 + \left(\frac{\partial S[x']}{\partial x'}\right)^2 \right]} \right) e^{-\frac{1}{\hbar} S_E[y] - \frac{2d^2}{\hbar^2 \tilde{\alpha}} \left[ \left(\frac{\partial S[x]}{\partial x}\right)^2 + \left(\frac{\partial S[x']}{\partial x'}\right)^2 \right]}} \quad (16)$$

Dove le uniche restrizioni sul cammino sono le lunghezze delle tre parti ( $t$ ,  $t$  e  $\beta\hbar$ ) e la positività degli  $y_i$ . Il parametro  $\tilde{\alpha}$  è variabile: esso non influisce sul lungo termine il risultato, ma varia l'affidabilità della simulazione.  $\tilde{\alpha}$  molto alto porta il metropolis ad esaminare percorsi  $x_i$  molto improbabili, mentre un valore troppo basso gli impedirà di esaminare percorsi di gran importanza in un cammino finito.

## 2 WKB estimate

Si può usare una stima della probabilità di tunnelling WKB per capire per quali valori di  $\bar{\beta}$ ,  $\lambda$  e  $\bar{t}$  la simulazione finirà in tempi ragionevoli. Dato che siamo interessati a tempi alti, limitiamo lo studio a livelli della buca singola, dai tempi caratteristici molto più lunghi. La probabilità di attraversare la barriera in WKB è:

$$p_{WKB}(\bar{E}, \lambda) = e^{-2 \int_{-a}^a dx \sqrt{\frac{2m}{\hbar^2} (V(x) - E)}} = e^{-8\lambda \int_{-a}^a dy \sqrt{(y^2 - 1)^2 - \bar{E}}} \quad (17)$$

con  $a = \sqrt{1 - \sqrt{\bar{E}}}$ ,  $E = \bar{E}V_0$ ,  $E$  è l'energia della particella. Per stimare  $P(\bar{t}, \bar{E}, \lambda)$  modellizziamo la particella come un sistema stocastico a due stati con una probabilità su unità di tempo  $2\pi\omega_d p$  di cambiare stato:

$$P_{WKB}(t, \bar{E}, \lambda) = \frac{1}{2} - \frac{1}{2} e^{-4\pi\omega_d p_{WKB} t} \quad (18)$$

Mediando infine sui livelli energetici:

$$P_{WKB}(t, \bar{\beta}, \lambda) = \frac{1}{Z} \sum_{n=0}^{\infty} P_{WKB} e^{-\bar{\beta} \bar{E}} = \frac{1}{2} - \frac{1}{2Z} \sum_{n=\frac{1}{2}}^{\infty} e^{-4\pi\omega_d p_{WKB} t - \bar{\beta} \frac{n}{\lambda}} \quad (19)$$

Dove abbiamo posto  $p_{WKB} = 1$  per  $\bar{E} > 1$ . Qualche esempio di tunnelling si può vedere in figura 2.

### 2.1 Stima di P

Se eseguendo la simulazione otteniamo  $D$  campioni, di cui  $d$  hanno effettuato il tunnelling, la distribuzione di probabilità per  $P$  è:

$$\frac{(D+1)!}{(D-d)!d!} (1-P)^{D-d} P^d \quad (20)$$

Con media  $\langle P \rangle = \frac{d+1}{D+2} \approx \frac{d+1}{D}$  e deviazione quadratica  $\sigma^2 = \frac{(D-(d+1))(d+1)}{(D+2)^2(D+3)} \approx \frac{d+1}{D^2}$ . Se vogliamo osservare l'effetto con precisione  $k$  la condizione da imporre è  $\sigma^2 \leq k^2 \langle P \rangle^2$ , che espressa in termini di  $d$  è:

$$d \geq \frac{D+1-k^2(D+3)}{1+k^2(D+3)} \approx \frac{1-k^2}{k^2}$$

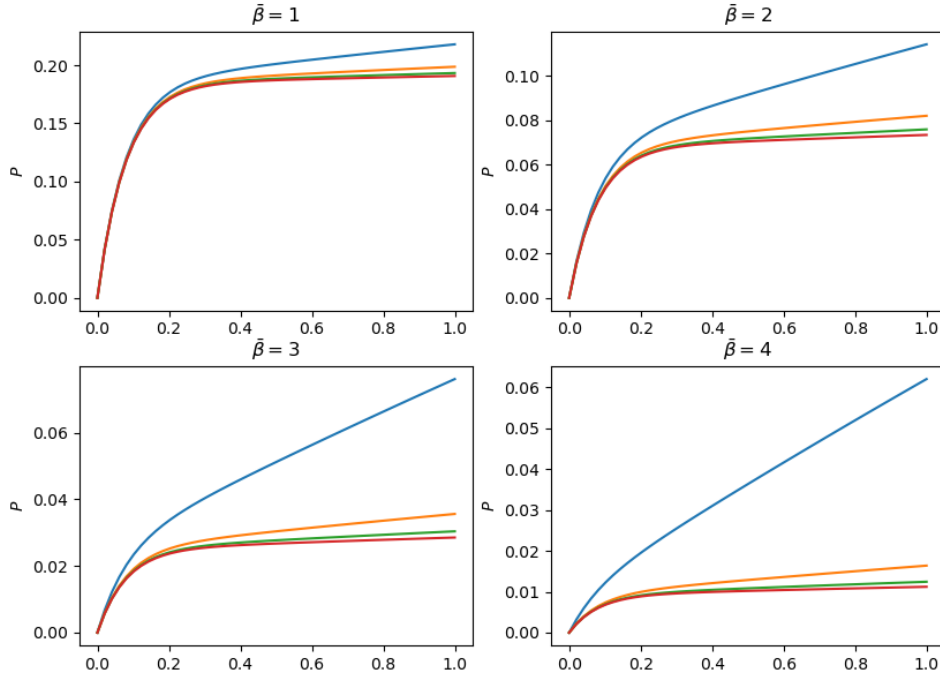


Figura 1: Esempi di tunnelling nell'approssimazione WKB, per  $\lambda \in [1, 2, 3, 4]$

Possiamo esprimere la probabilità di fallimento come una somma cumulativa su tutti gli  $d$  minori del limite:

$$P_f = \sum_{d=0}^{d_{max}} P(d) = \sum_{d=0}^{d_{max}} \binom{D}{d} (1-P)^{D-d} P^d \quad (21)$$

Per stimarlo passiamo nel limite di  $P$  molto piccolo:  $D \gg d$ . Sostituiamo  $\binom{D}{d} \approx \frac{(eP(\frac{D}{d} + \frac{1}{2}))^d}{\sqrt{2\pi d}}$  e arriviamo a:

$$P_f = (1-P)^D \sum_{d=0}^{d_{max}} \frac{(eP(\frac{D}{d} + \frac{1}{2}))^d}{\sqrt{2\pi d}} \quad (22)$$

Si può osservare il risultato in figura 2.1. Vi è un evidente effetto periodico in  $\lambda$  causato dal passaggio di livelli energetici della doppia buca alla parte quartica del sistema. Ciò potrebbe essere molto accentuato dalle approssimazioni fatte in WKB, sarebbe interessante riosservarlo nelle simulazioni.

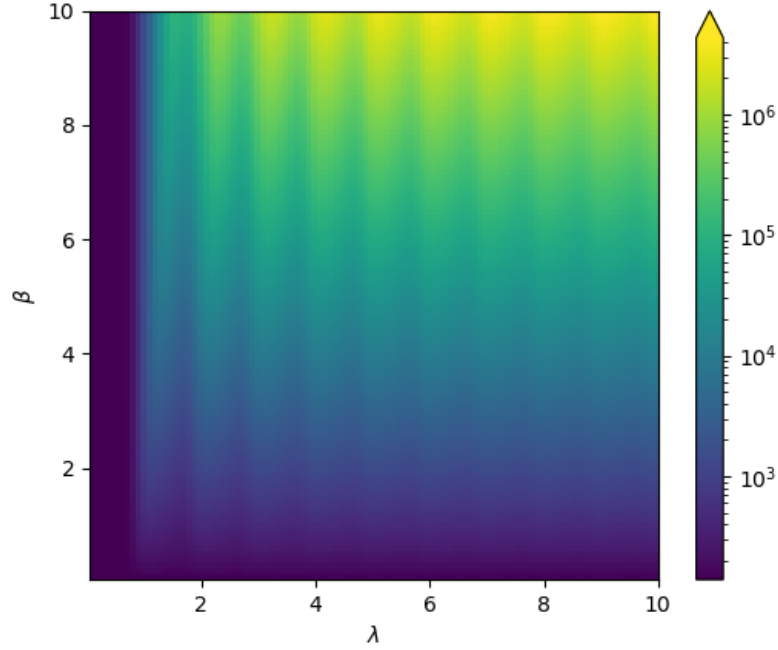


Figura 2: Numero di campioni necessari per avere  $P_f < 0.02$  con  $k = 0.1$ ,  $\bar{t} = 1$  nell'approssimazione WKB

### 3 Discretizzazione

Avendo due tempi ( $t$  e  $\beta\hbar$ ) dobbiamo scegliere due passi temporali, rispettivamente  $a$  e  $b$ . Definiamo quindi il numero di punti del sistema:

$$N = \frac{\beta\hbar}{a} \equiv \frac{\bar{\beta}}{\eta_a} \qquad M = \frac{t}{\beta} \equiv \frac{\bar{t}}{\eta_b}$$

Dato che siamo in  $\lambda > 1$ ,  $\omega_0$  è la scala temporale più stringente, quindi la simulazione è affidabile per  $\eta_a, \eta_b \ll 1$ . L'azione euclidea adimensionale discretizzata risulta essere:

$$\begin{aligned} S_E &= \frac{1}{\hbar} \int d\tau \frac{m}{2} \left( \frac{\partial y}{\partial \tau} \right)^2 + V(y) = \\ &= \frac{1}{\hbar} \sum_{i=0}^{N-1} a \left( \frac{m}{2} \left( \frac{y_{i+1} - y_i}{a} \right)^2 + V(y_i) \right) = \\ &= \sum_{i=0}^{N-1} \frac{md^2}{2a\hbar} \left( \frac{y_{i+1} - y_i}{d} \right)^2 + \frac{aV_0}{\hbar} \left( \left( \frac{y_i}{d} \right)^2 - 1 \right)^2 \\ S_E[\tilde{y}] &= \sum_{i=0}^{N-1} \frac{4\lambda^2}{\eta_a} (\tilde{y}_{i+1} - \tilde{y}_i)^2 + \eta_a (\tilde{y}_i^2 - 1)^2 \end{aligned} \tag{23}$$

L'azione adimensionale diventa similamente:

$$S[\tilde{x}] = \sum_{i=0}^{M-1} \frac{4\lambda^2}{\eta_b} (\tilde{x}_{i+1} - \tilde{x}_i)^2 - \eta_b (\tilde{x}_i^2 - 1)^2 \quad (24)$$

Siamo anche interessati al quadrato del suo gradiente:

$$\begin{aligned} d \frac{\partial S[\tilde{x}]}{\partial x_i} &= \frac{\partial S[\tilde{x}]}{\partial \tilde{x}_i} = -4\eta_b \tilde{x}_i (\tilde{x}_i^2 - 1) + \frac{8\lambda^2}{\eta_b} (2\tilde{x}_i - \tilde{x}_{i-1} - \tilde{x}_{i+1}) \\ \sum_{i=0}^{M-1} \left( \frac{\partial S[\tilde{x}]}{\partial \tilde{x}_i} \right)^2 &= 16 \sum_{i=0}^{M-1} \eta_b^2 \tilde{x}_i^6 - 2\tilde{x}_i^4 (\eta_b^2 + 4\lambda^2) + 4\lambda^2 \tilde{x}_i^3 (\tilde{x}_{i+1} + \tilde{x}_{i-1}) + \\ &\quad \tilde{x}_i^2 \left( \frac{4\lambda^2}{\eta_b} + \eta_b \right)^2 - \tilde{x}_i (\tilde{x}_{i+1} + \tilde{x}_{i-1}) \left( 4\lambda^2 + \left( \frac{4\lambda^2}{\eta_b} \right)^2 \right) + \\ &\quad \frac{4\lambda^4 \tilde{x}_{i+1}^2}{\eta_b^2} + \frac{8\lambda^4 \tilde{x}_{i+1} \tilde{x}_{i-1}}{\eta_b^2} + \frac{4\lambda^4 \tilde{x}_{i-1}^2}{\eta_b^2} \quad (25) \end{aligned}$$

Dove bisogna mettere  $x_{-1} = 0$ . Restano da calcolare le differenze, necessarie per ottenere i rapporti di probabilità:

$$S_E[\tilde{y}]|_{y_i \rightarrow y'_i} - S_E[\tilde{y}] = \sum_{i=0}^{N-1} \frac{4\lambda^2}{\eta_a} (\tilde{y}_{i+1} - \tilde{y}_i)^2 + \eta_a (\tilde{y}_i^2 - 1)^2 \quad (26)$$